



CADEAU



Il sistema modellistico CADEAU: un focus ad alta risoluzione sul Nord Adriatico a partire dai prodotti CMEMS

Stefano Querin (squerin@inogs.it), Gianpiero Cossarini, Valeria Di Biagio, Cosimo Solidoro

Istituto Nazionale di Oceanografia e di Geofisica Sperimentale (OGS)

Workshop CADEAU, Venezia, 5 giugno 2018



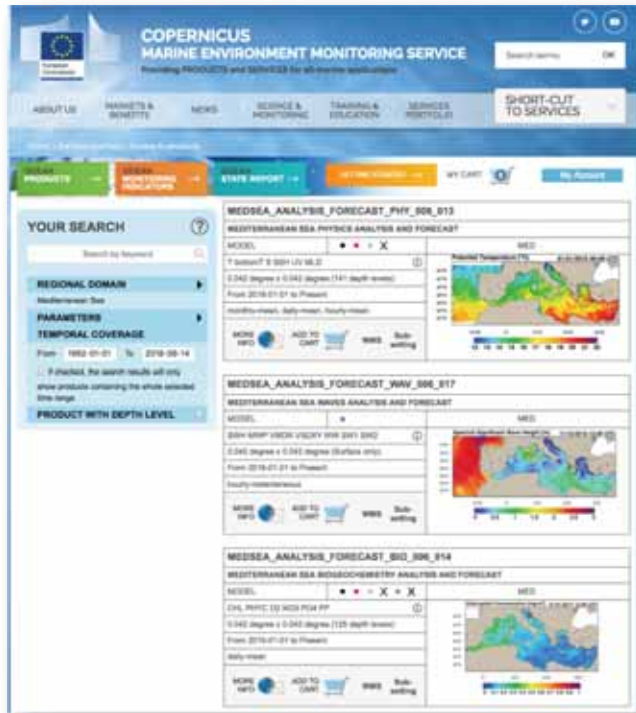
ISPRA

Istituto Superiore per la Protezione
e la Ricerca Ambientale

Downscaling del servizio COPERNICUS MEDITERRANEO in Alto Adriatico

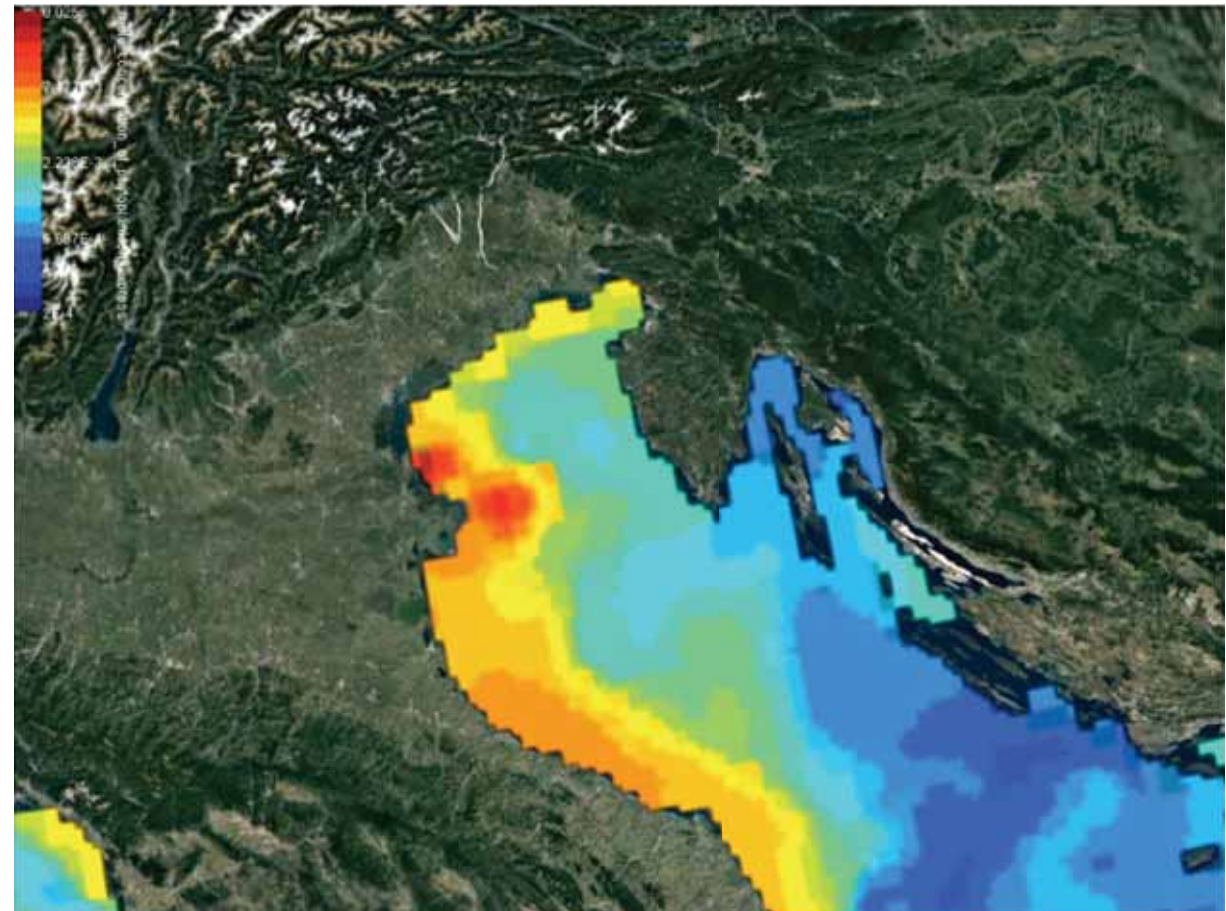
MARINE.COPERNICUS – Mediterraneo:
servizio di **previsione giornaliera dello stato del mare** alla risoluzione di circa **4.5 km**

Catalogo on line (libero e gratuito)
dei prodotti per le variabili **fisiche**,
biogeochimiche e per il **moto ondoso**



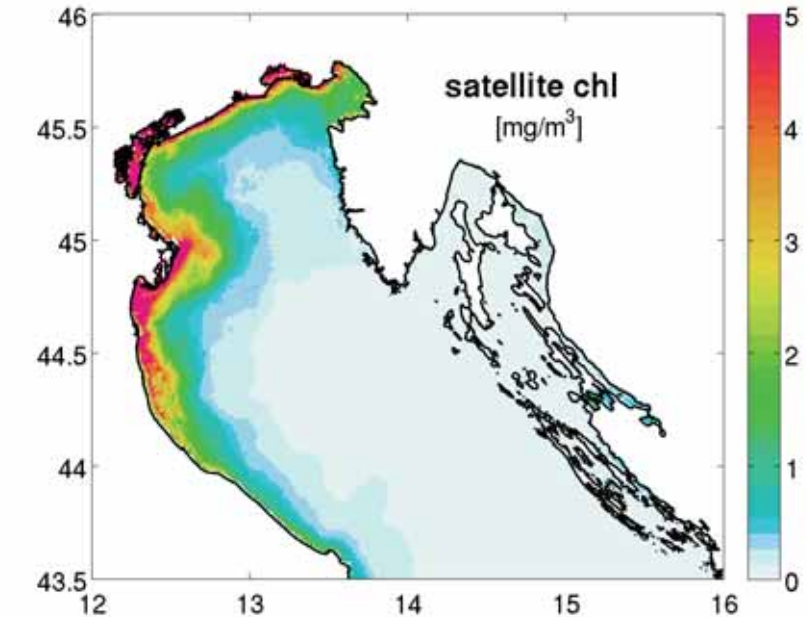
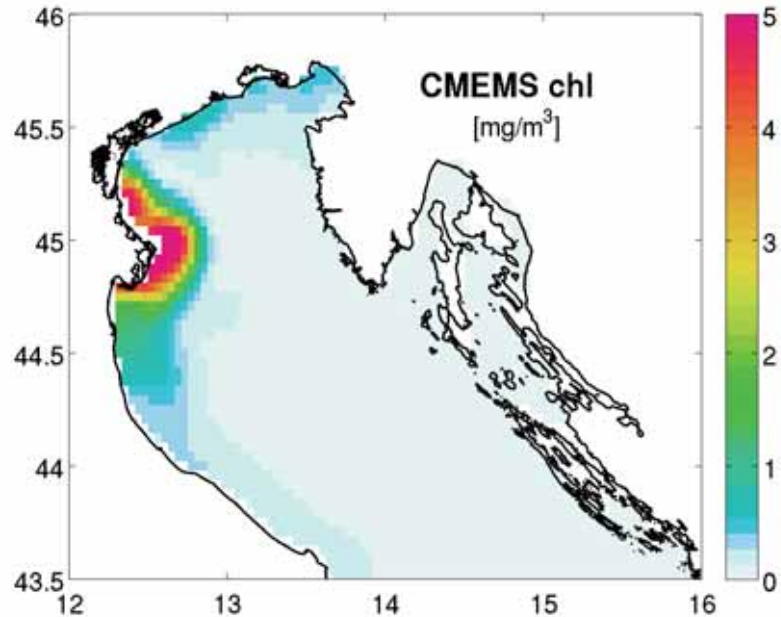
The screenshot shows the Copernicus Marine Environment Monitoring Service interface. It features a search bar at the top and navigation links for About Us, Products & Services, MCS, Science & Monitoring, Training & Education, and Services Portfolio. Below this, there are three product cards:

- MEDSEA_ANALYSIS_FORECAST_PHY_008_013**: Mediterranean Sea Physics Analysis and Forecast. Model: FESOM2 T 1/24 UV ML2. Parameters: 0.042 degree x 0.042 degree (141 depth levels). Period: From 2018-01-01 to Present.
- MEDSEA_ANALYSIS_FORECAST_RWW_006_017**: Mediterranean Sea Waves Analysis and Forecast. Model: SWAN-SWMP-VISORY WAVE 2013 SW2. Parameters: 0.042 degree x 0.042 degree (Surfacta 6m). Period: From 2018-01-01 to Present.
- MEDSEA_ANALYSIS_FORECAST_BIO_006_014**: Mediterranean Sea Biogeochemistry Analysis and Forecast. Model: C2S, PHYC, CO2 MED2014 PP. Parameters: 0.042 degree x 0.042 degree (225 depth levels). Period: From 2018-01-01 to Present.



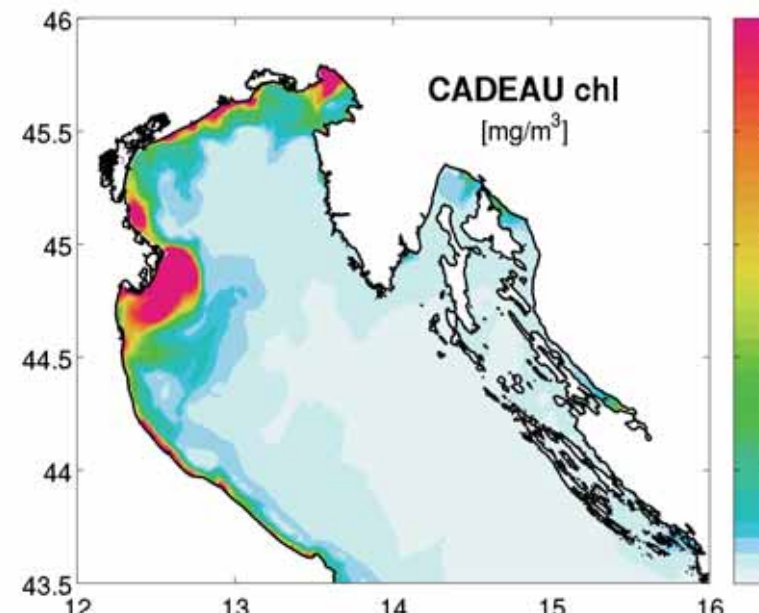
PROBLEMA: per molte applicazioni **costiere**, la risoluzione (**1/24°**) non è sufficiente

Confronto modello CMEMS, modello CADEAU e dato satellitare



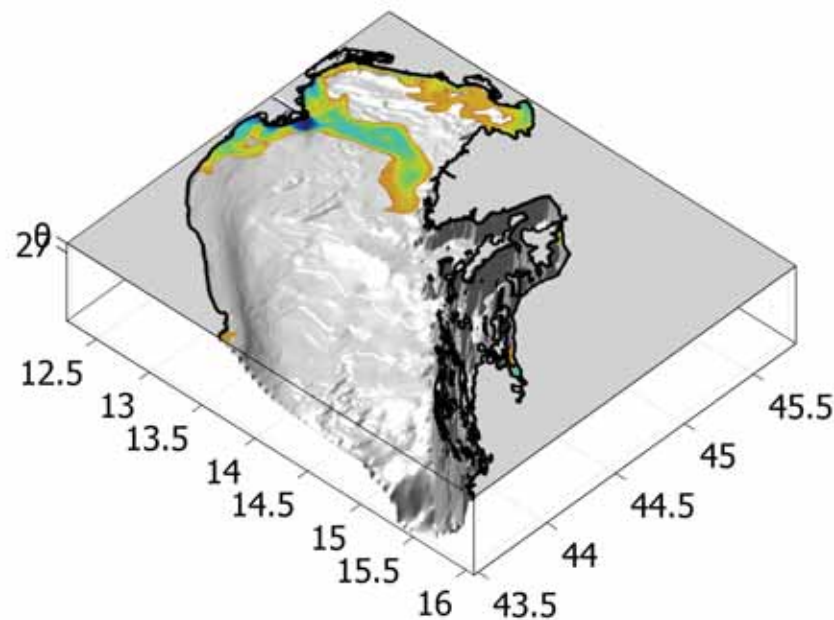
**clorofilla
superficiale**

10-14 giugno 2017

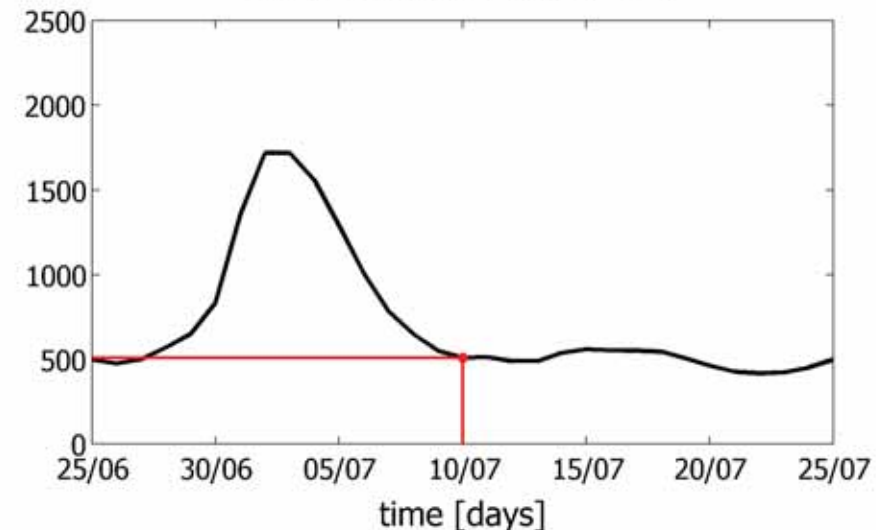


Alto Adriatico: un sistema complesso...

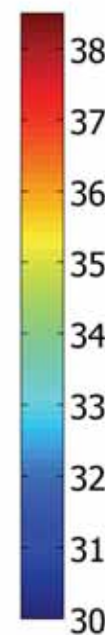
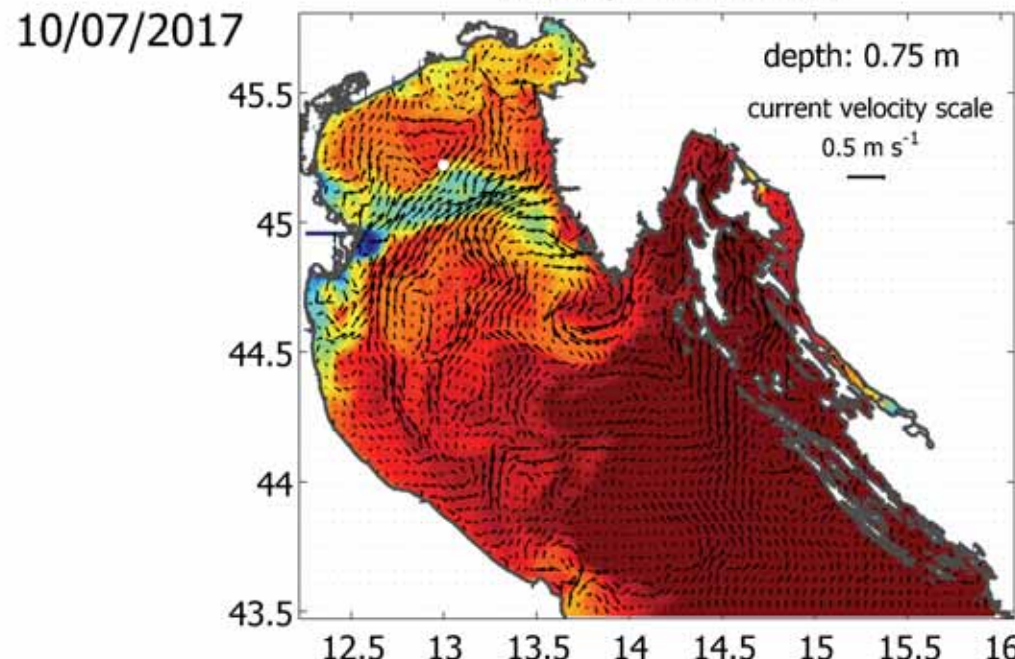
salinity
36 PSU



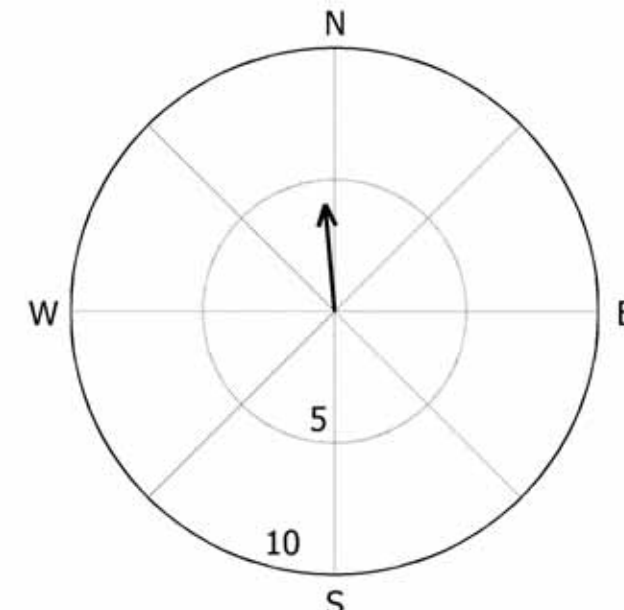
Po river discharge [$\text{m}^3 \text{s}^{-1}$]



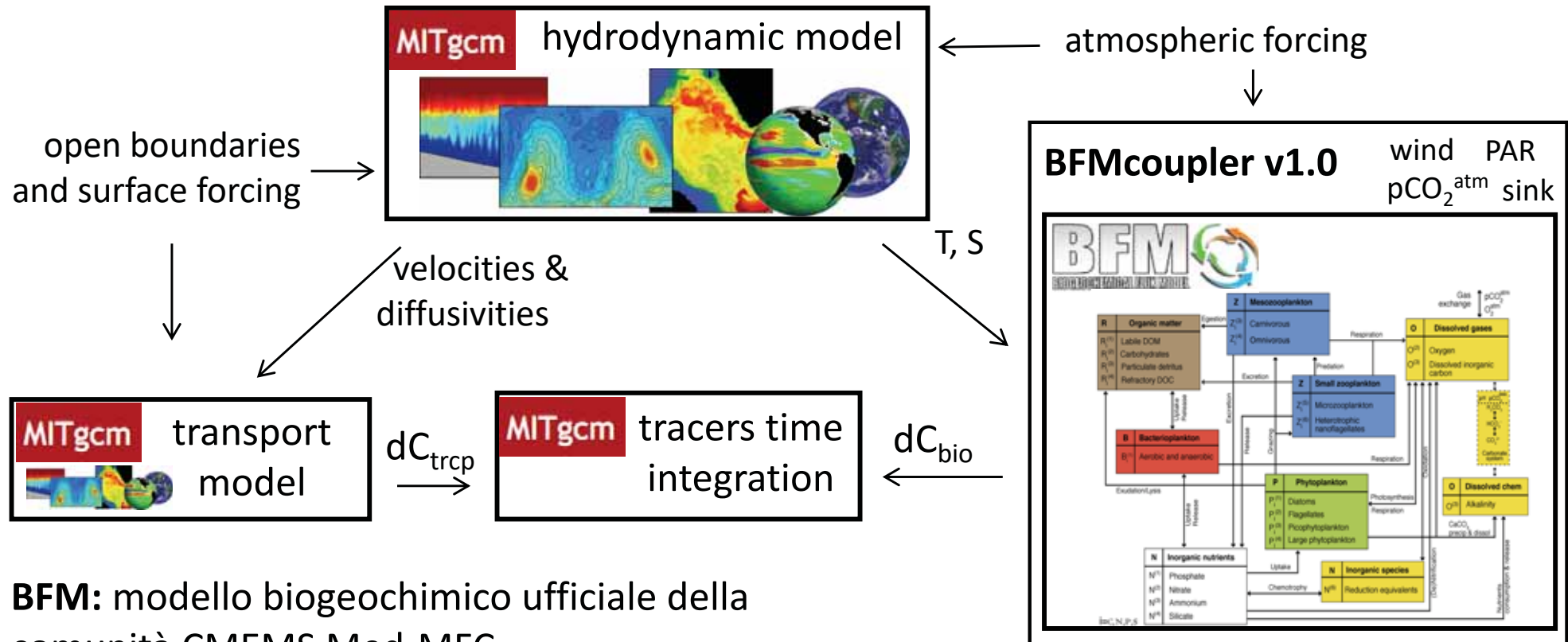
salinity and currents



wind [m s^{-1}]



Sistema modellistico CADEAU basato sul **modello accoppiato MITgcm-BFM** a 1/128° (~700 m)



[Cossarini et al., 2017]

BFM: modello biogeochimico ufficiale della comunità CMEMS Med-MFC

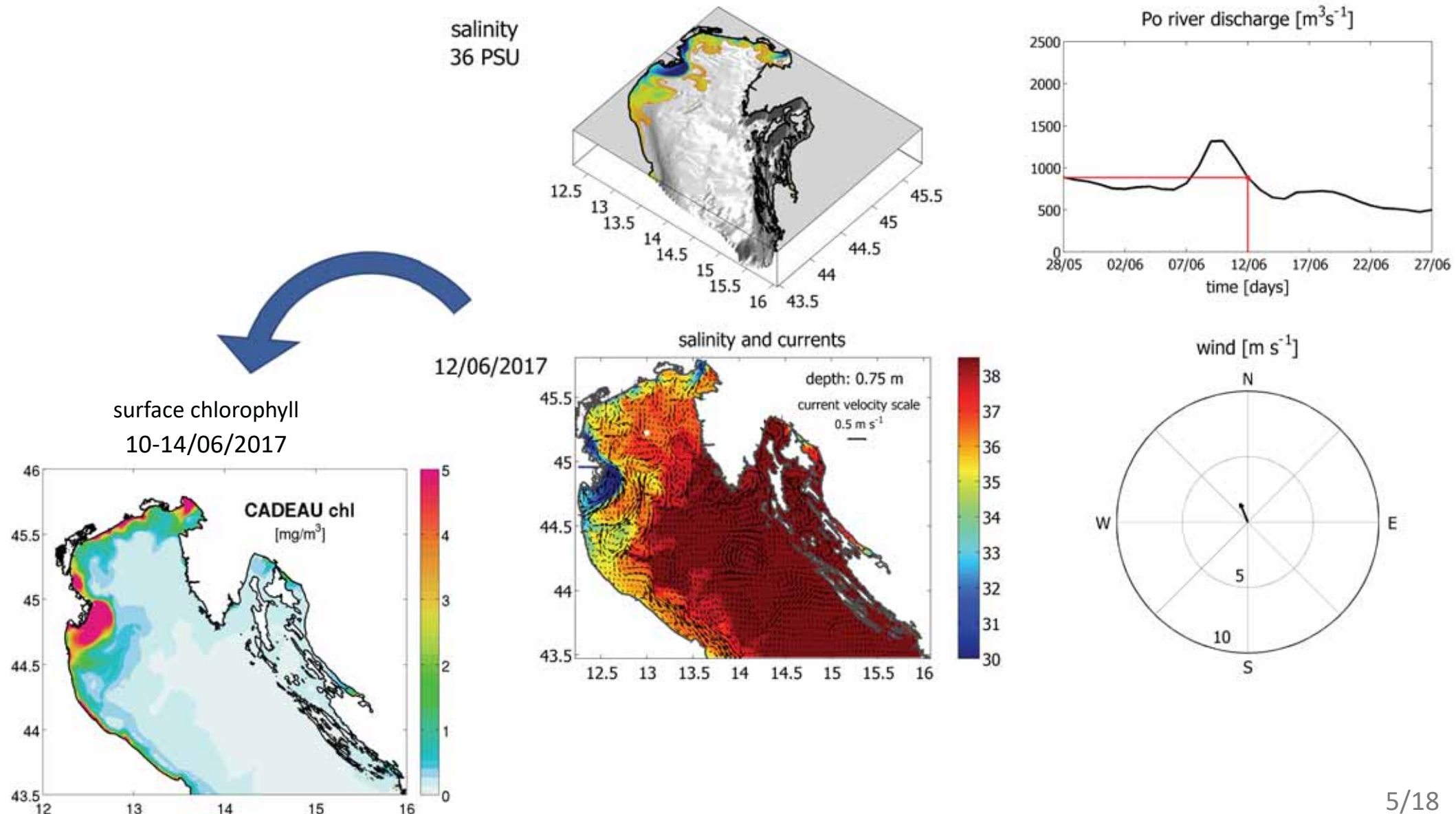
MITgcm: modello idrodinamico “state-of-the-art”

BFMcoupler v1.0: nuovo accoppiamento online (possibili feedback a due vie), approccio modulare, schemi di integrazione ottimizzati, open source

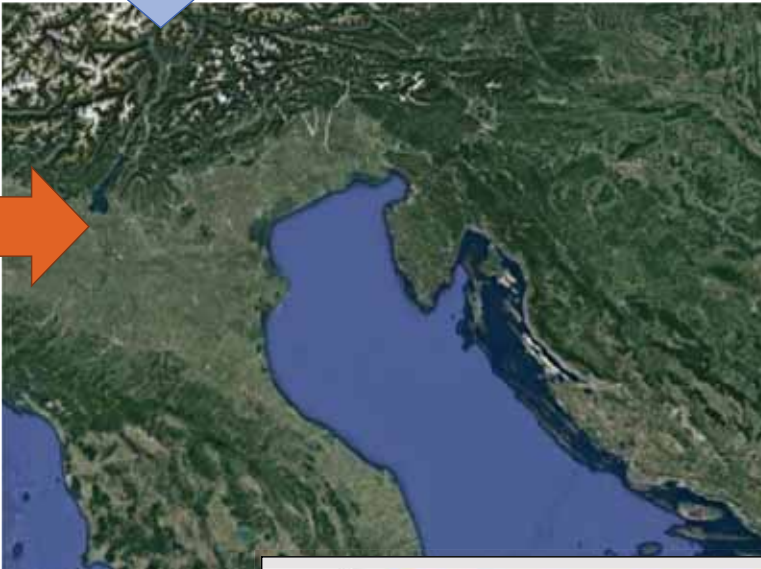
3DVAR-BIO/NUDGING: assimilazione di clorofilla superficiale e dei dati costieri di nutrienti/clorofilla

3DVAR-BIO/NUDGING
(surface chlorophyll, coastal data)

**Interazione fra processi idrodinamici e biogeochimici:
grande variabilità spaziale e temporale!**

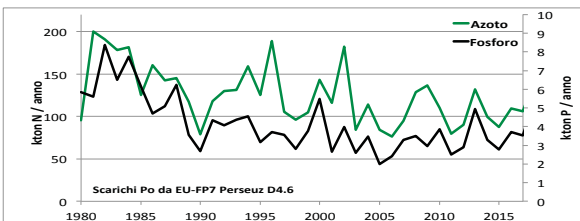


**Runoff fluviale: ARPAE, ARPA-FVG,
climatologie [Raicich et al., 1994]**

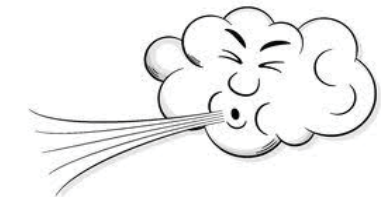


Input di nutrienti:

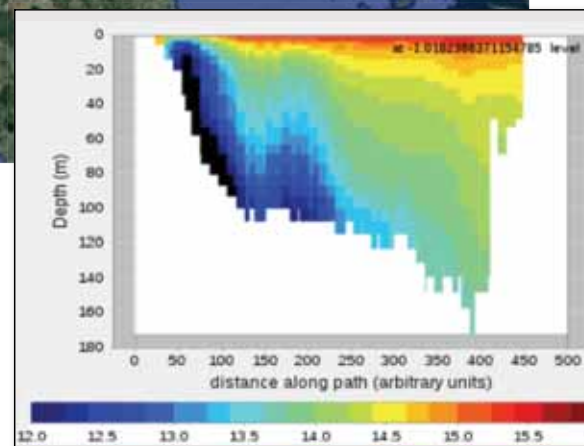
- ✓ FIUMI: progetto EU-FP7
Perseus, D4.6



- ✓ LAGUNA di VENEZIA
[Solidoro et al., 2006]
- ✓ ATMOSFERA [Ribera
d'Alcalà et al., 2003]
- ✓ REMIN. FONDO [Giordani et
al., 2002; Bertuzzi et al.,
1997]
- ✓ RETE SCARICHI A MARE:
ISPRA-UWWTP



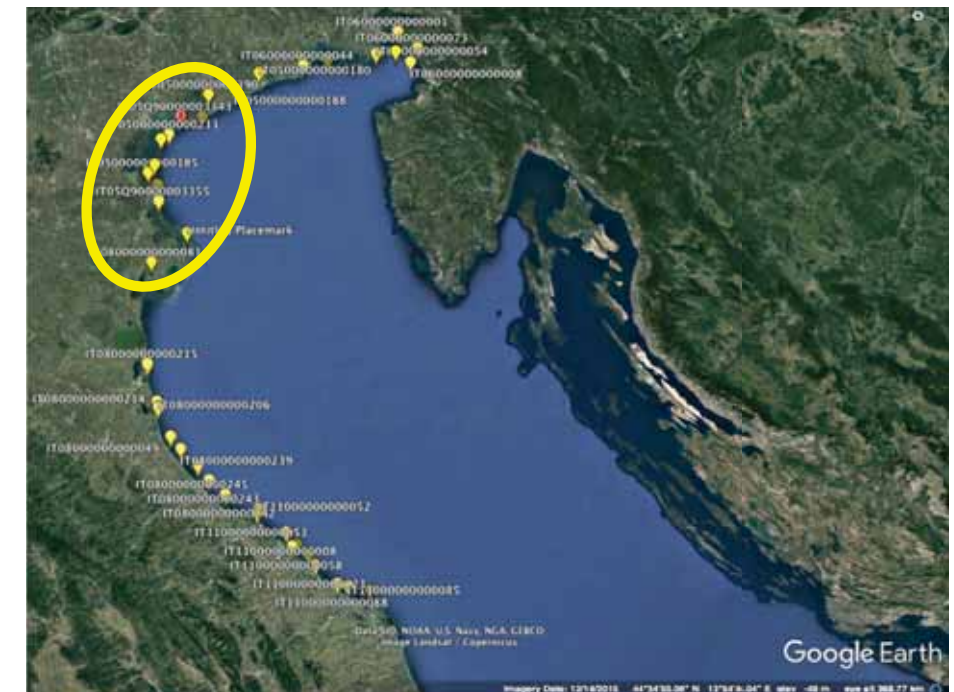
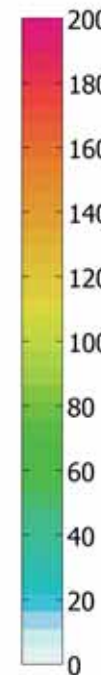
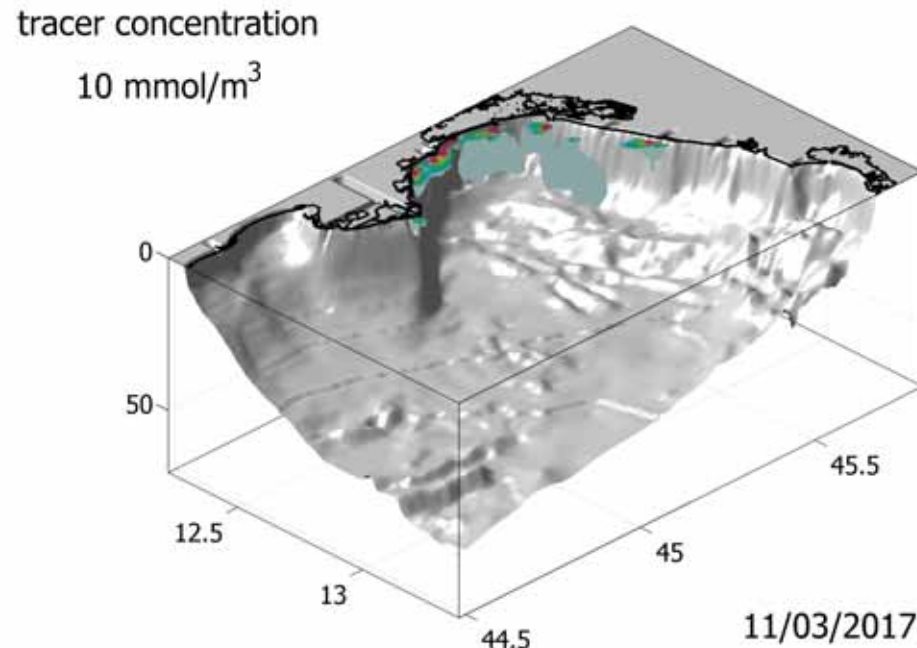
**Forzante atmosferico:
ECMWF, COSMO I2
(ARPAE)**



**Condizioni al
contorno per il bordo
aperto a sud (*nesting*)
per variabili fisiche e
biogeochimiche:
COPERNICUS**

Simulazione degli scarichi costieri:
flusso dal fondo di nitrato e fosfato
(dataset ISPRA)

Caso studio **balneazione** (Chioggia):
12 sorgenti di “escherichia coli”



legge di decadimento [*Chan et al., 2013*]

$$k(z, t) = (k_b + k_s S(z, t)) \theta^{T-20} + k_I I(t) e^{-e_t z}$$

z (depth)

t (time)

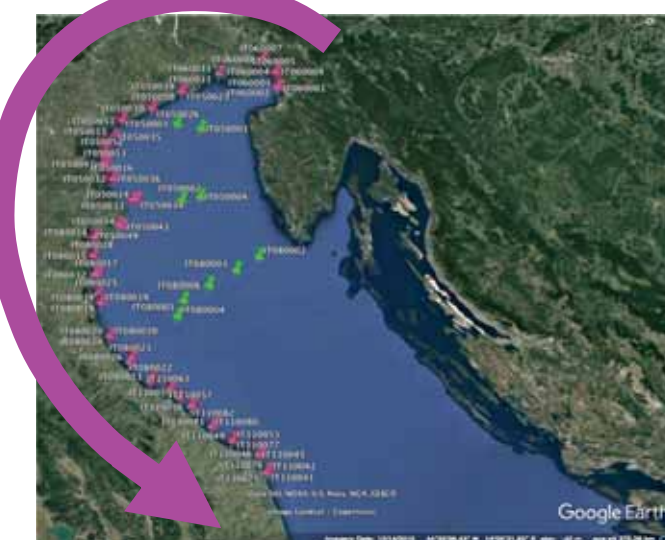
$k_b = 0.8$

$k_s = 0.017$

$k_I = 0.086$

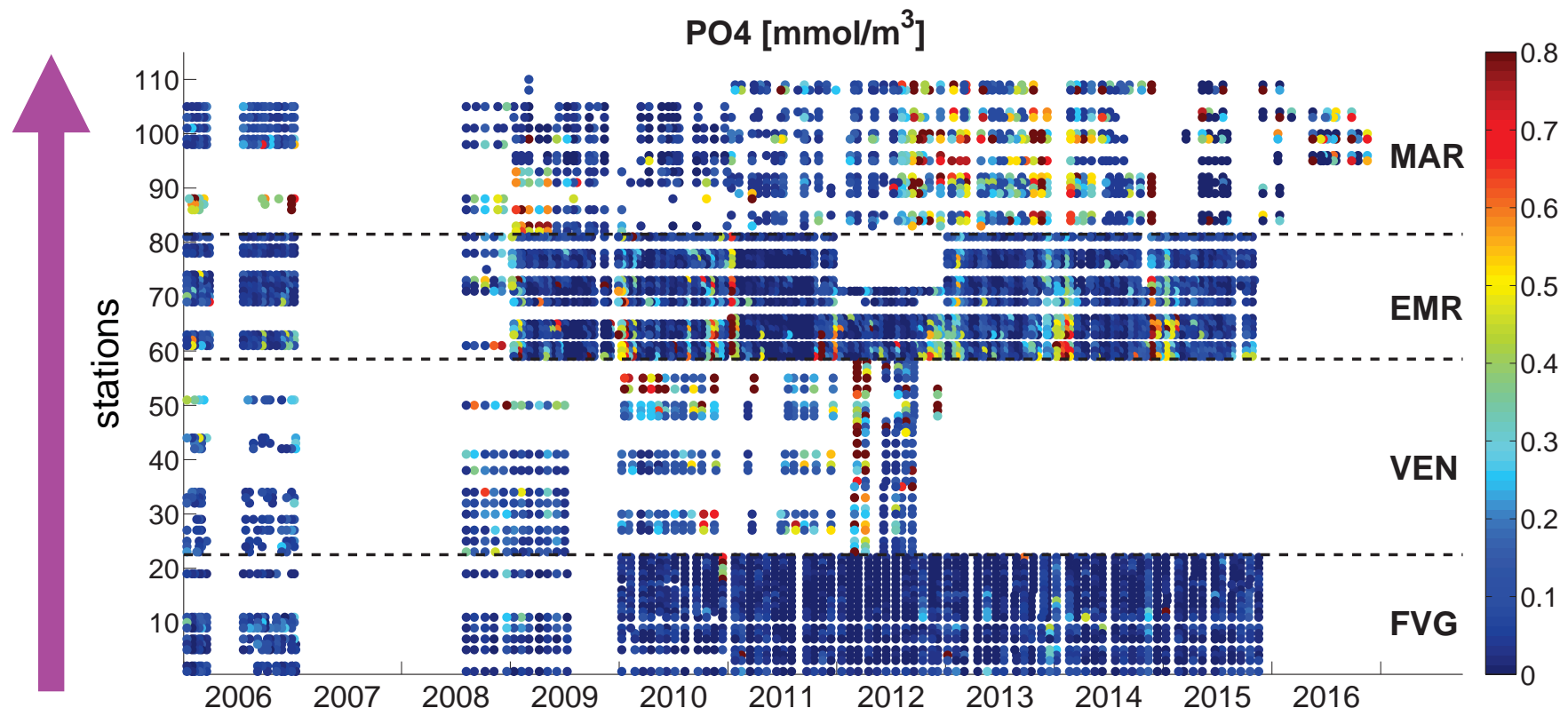
$e_t = 0.5$ (higher transparency)

$\theta = 1.07$

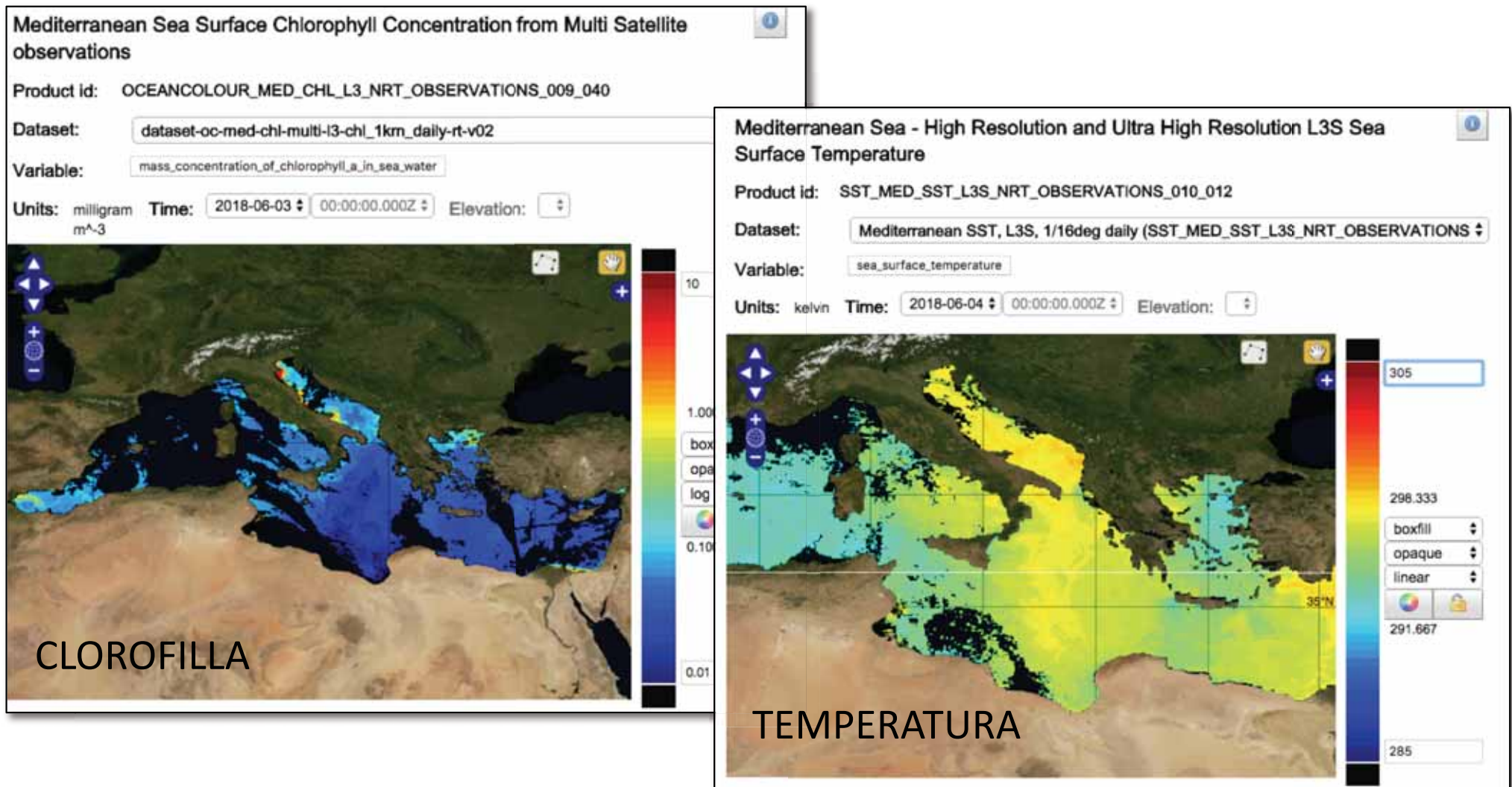


Dati sperimentali *in-situ* (stazioni ISPRA)

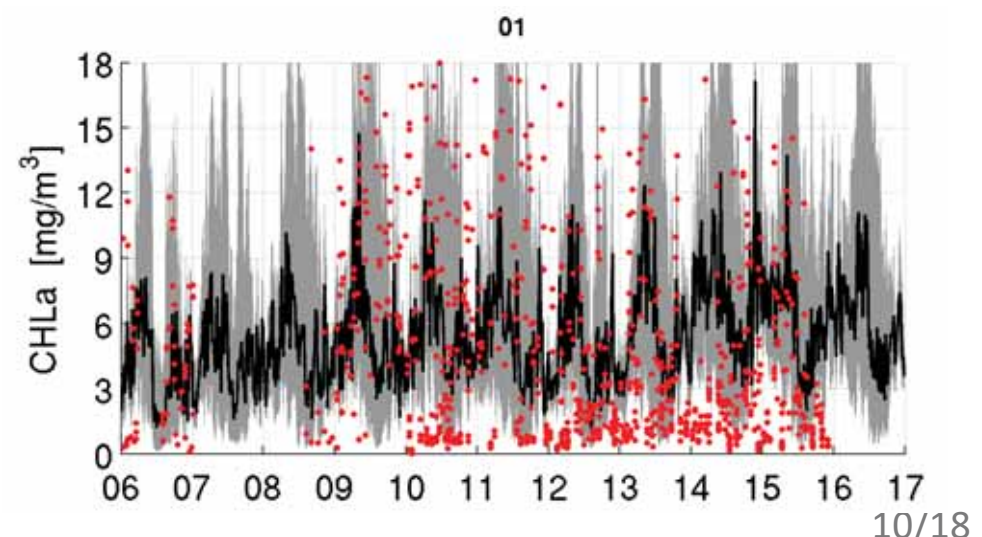
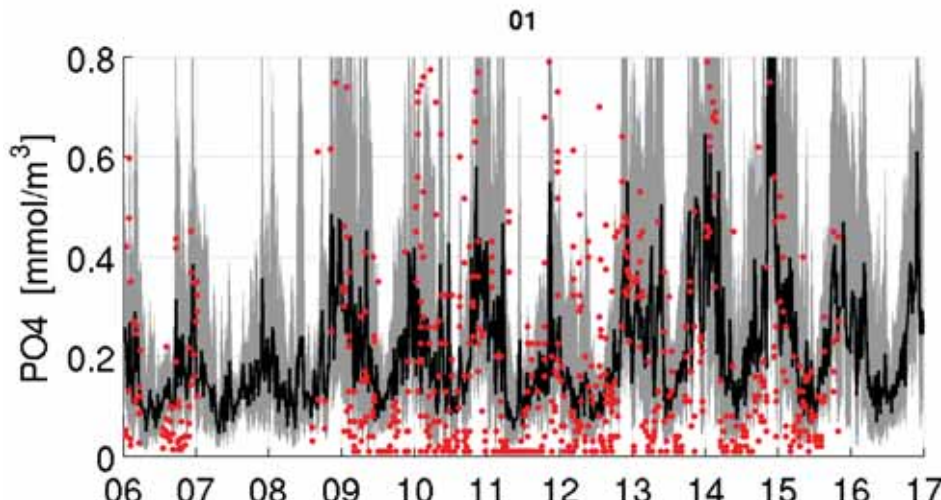
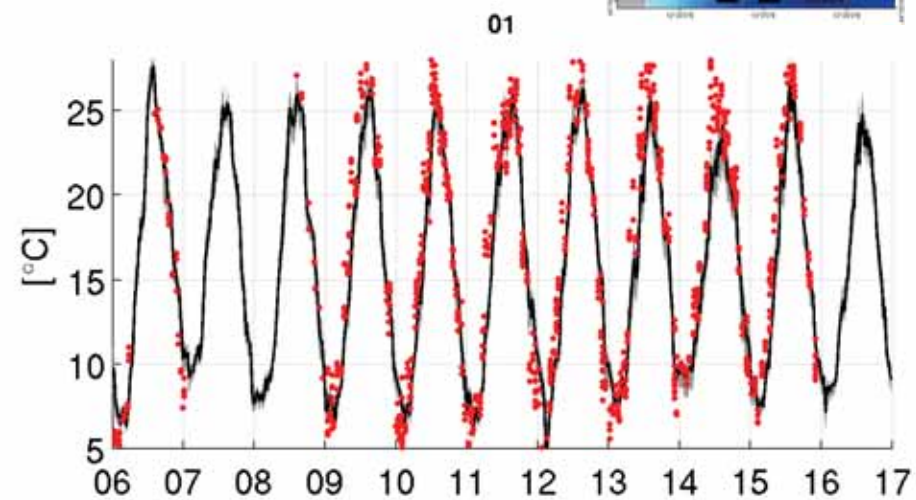
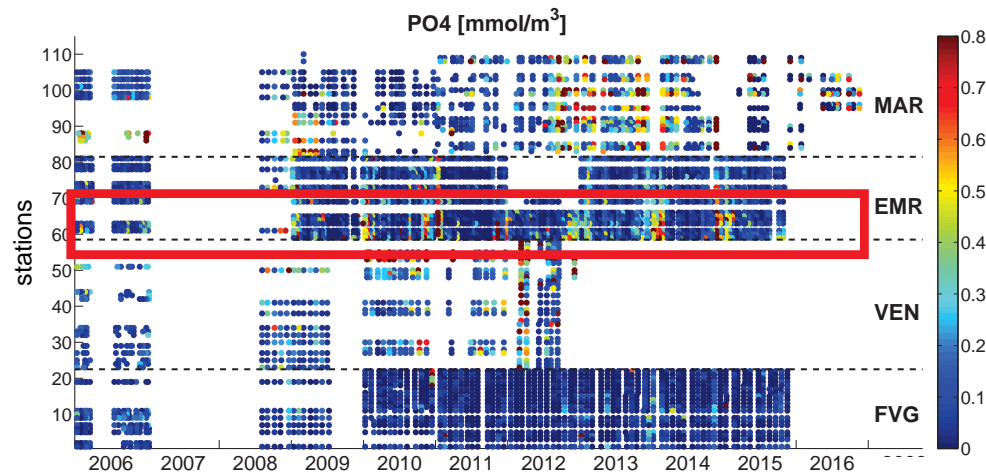
- ✓ dati costieri
- ✓ transetti
- ✓ utilizzo nelle simulazioni numeriche:
validazione e assimilazione
- ✓ contributo della modellistica:
integrazione e interpretazione



Osservazioni da **satellite** ad **alta risoluzione**, fino a 1 km (e anche oltre), con la nuova generazione di satelliti **Sentinel** gestiti dall'**ESA**.
Dataset resi disponibili dal sistema **COPERNICUS**.

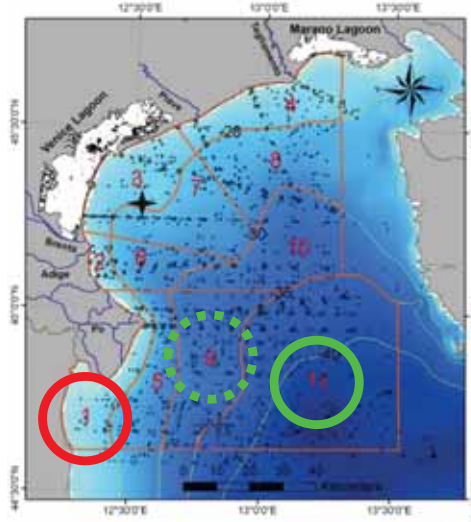


Serie temporali 2006-2016: confronto con il dataset ISPRA



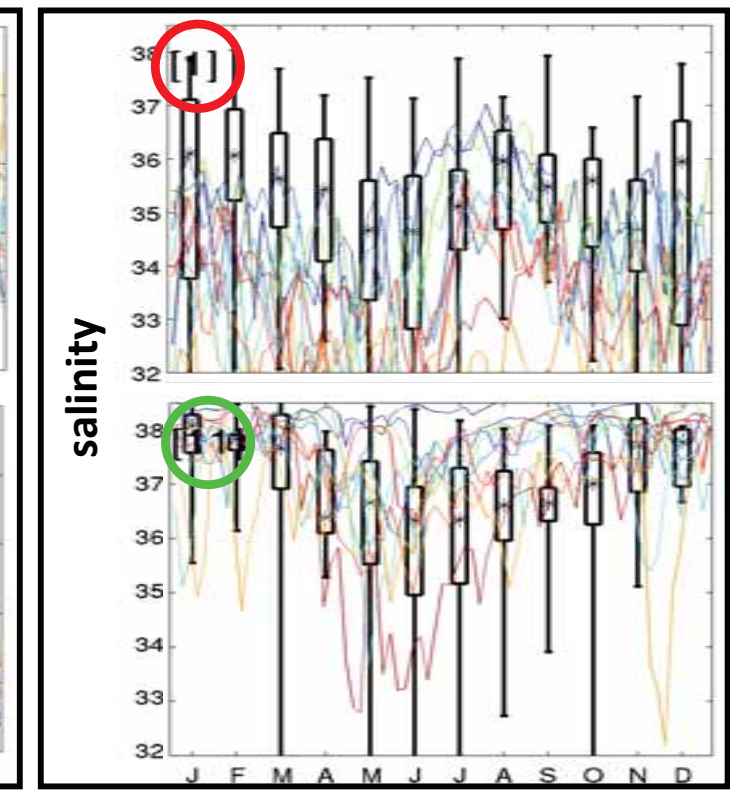
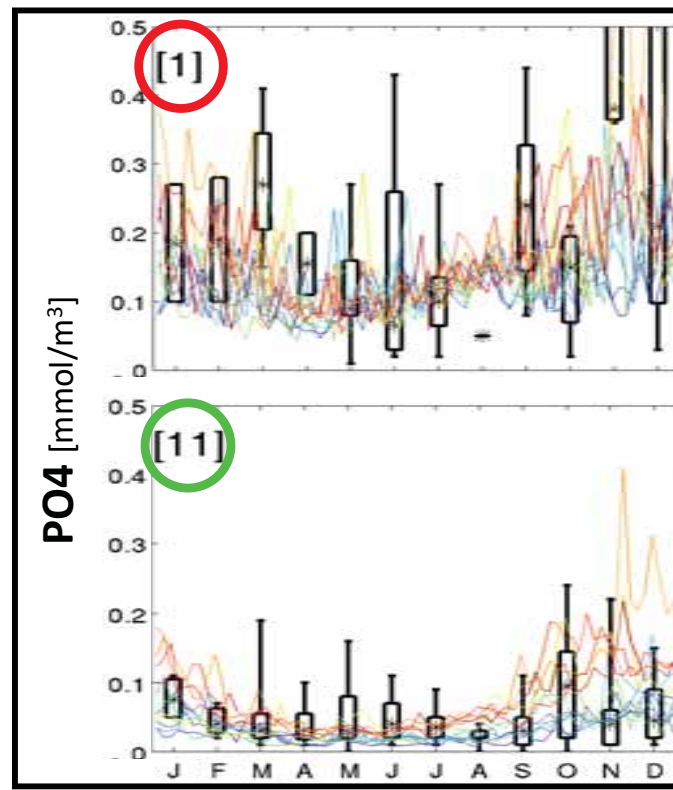
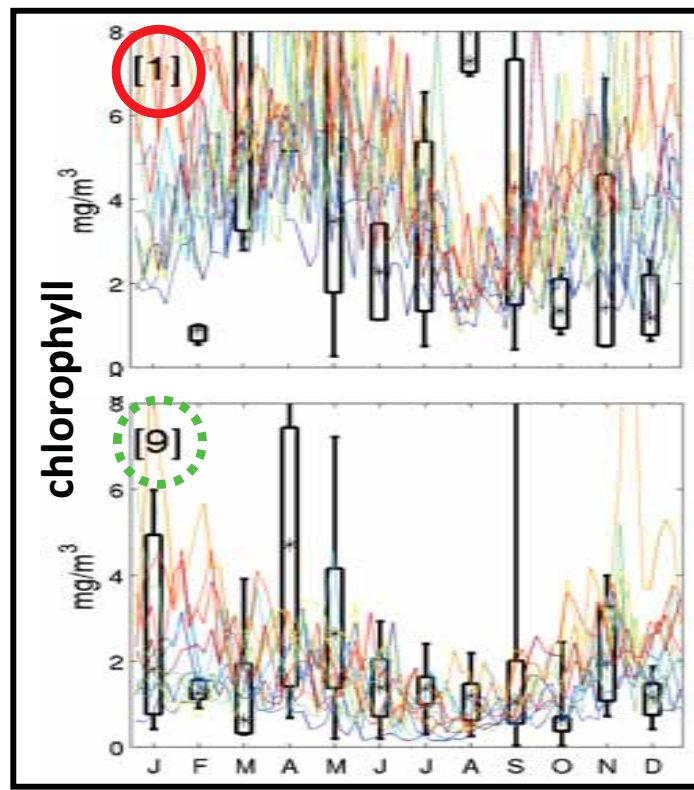
Risultati: analisi 2006-2017

Risultati consistenti con le **climatologie** per l'Alto Adriatico [Solidoro *et al.*, 2009]



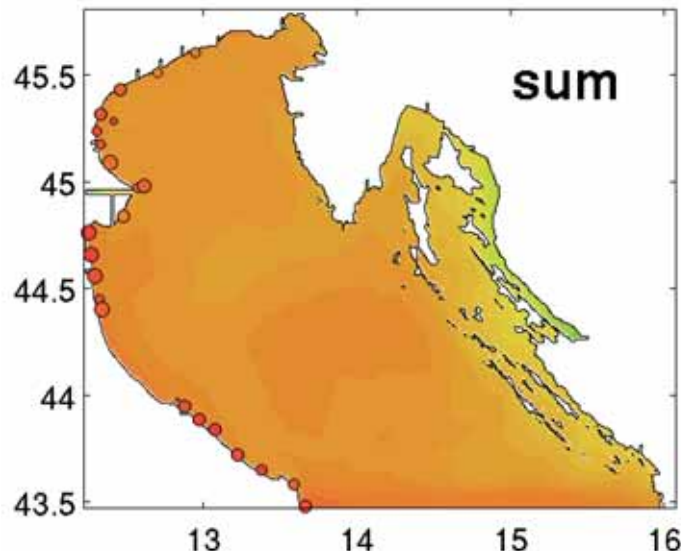
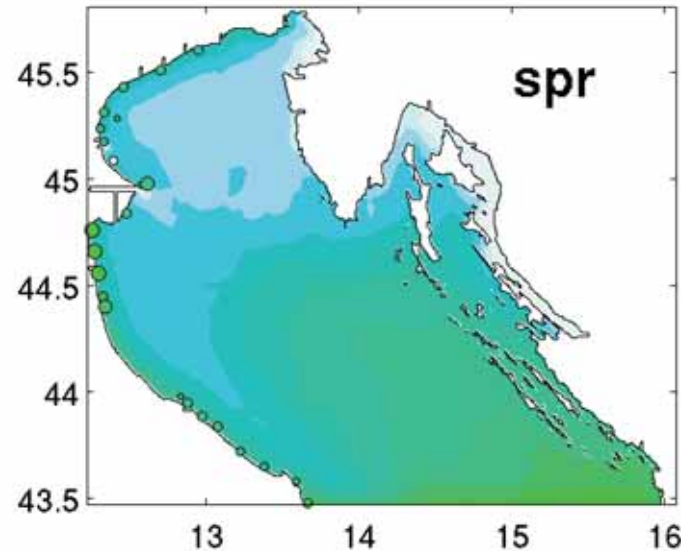
Nord Adriatico caratterizzato
da **elevati gradienti costa - largo**

- 2006
- 2007
- 2008
- 2009
- 2010
- 2011
- 2012
- 2013
- 2014
- 2015
- 2016
- 2017

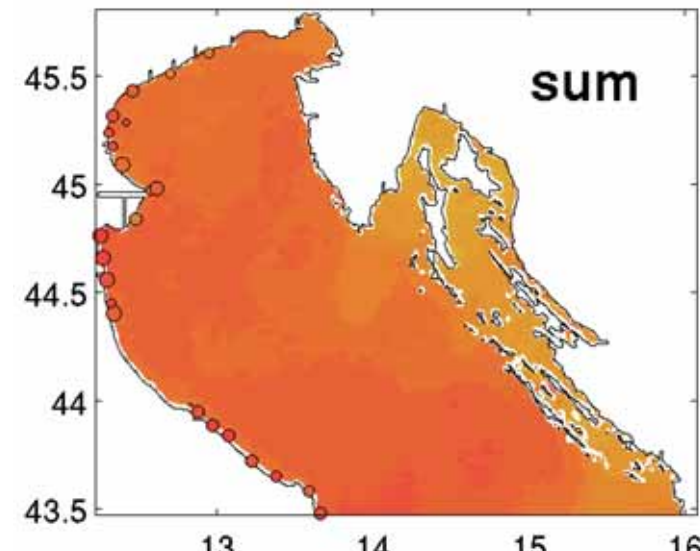
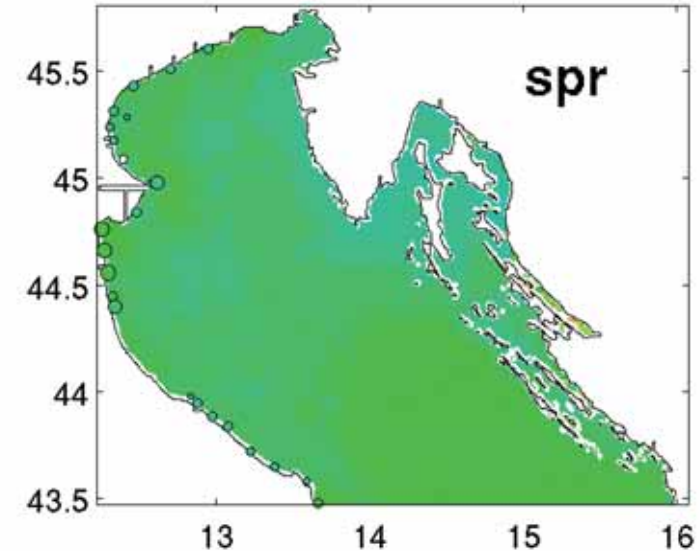


Mappe di temperatura superficiale (medie stagionali)

Modello (senza assimilazione)

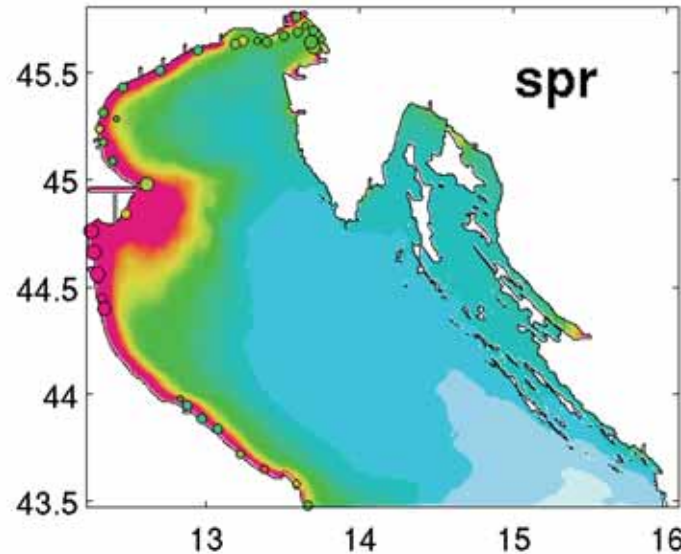


Satellite

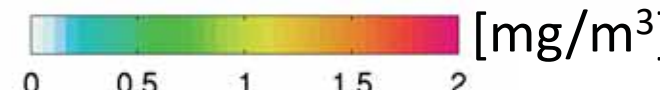
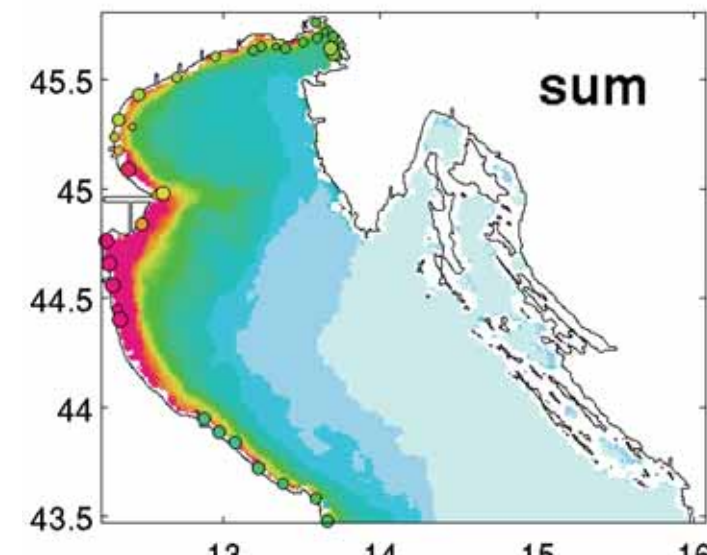
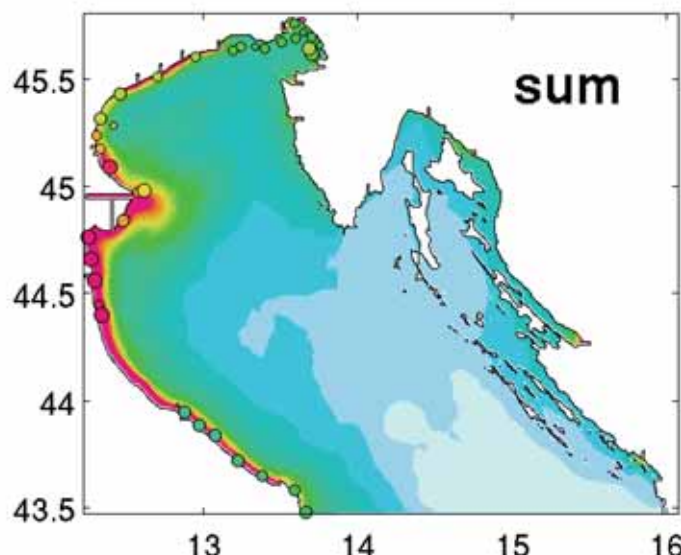
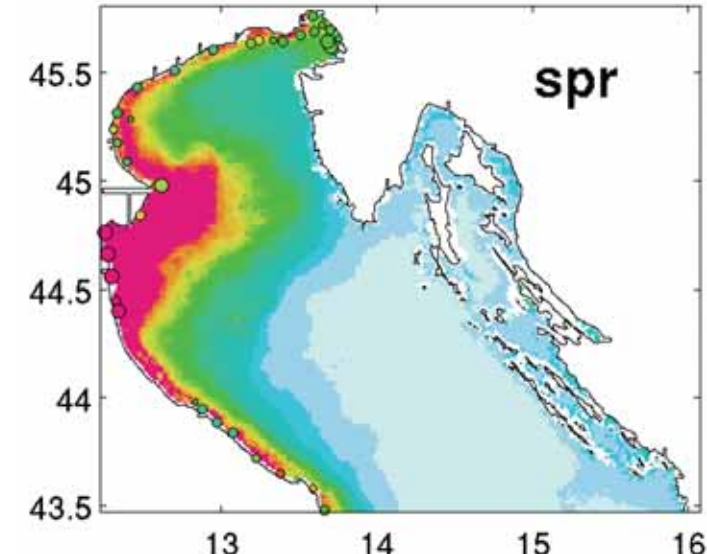


Mappe di clorofilla superficiale (medie stagionali)

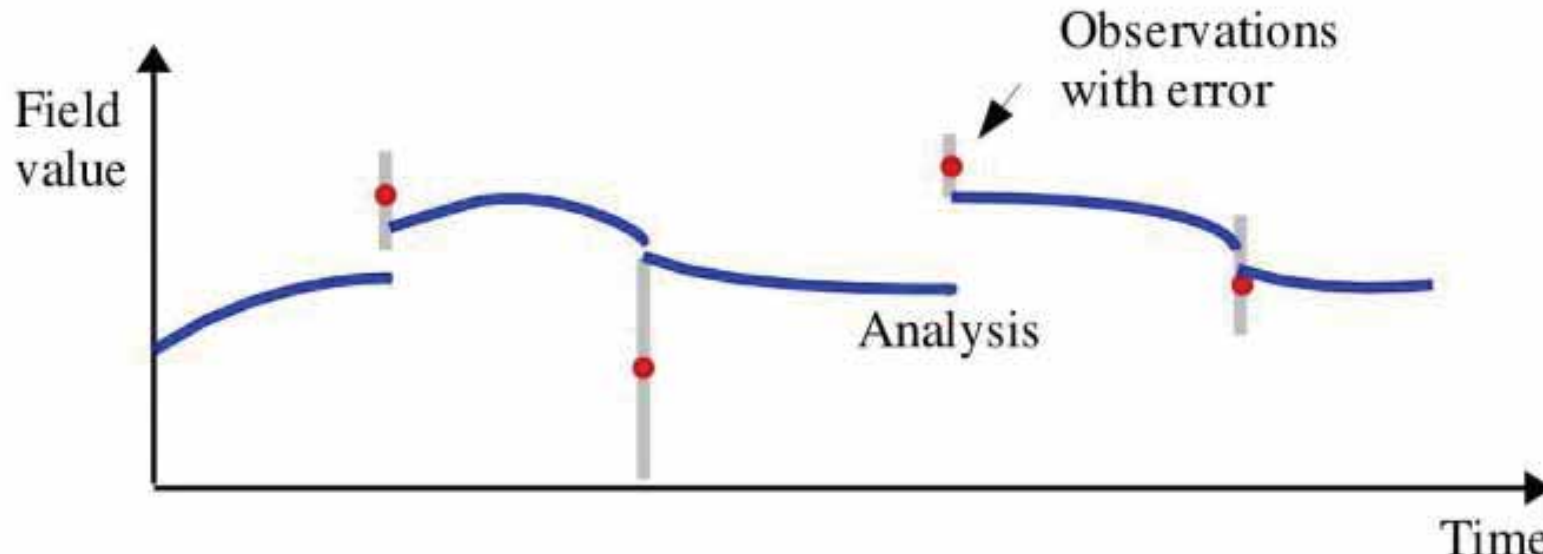
Modello (senza assimilazione)



Satellite



Data assimilation: integrazione tra modello e osservazioni



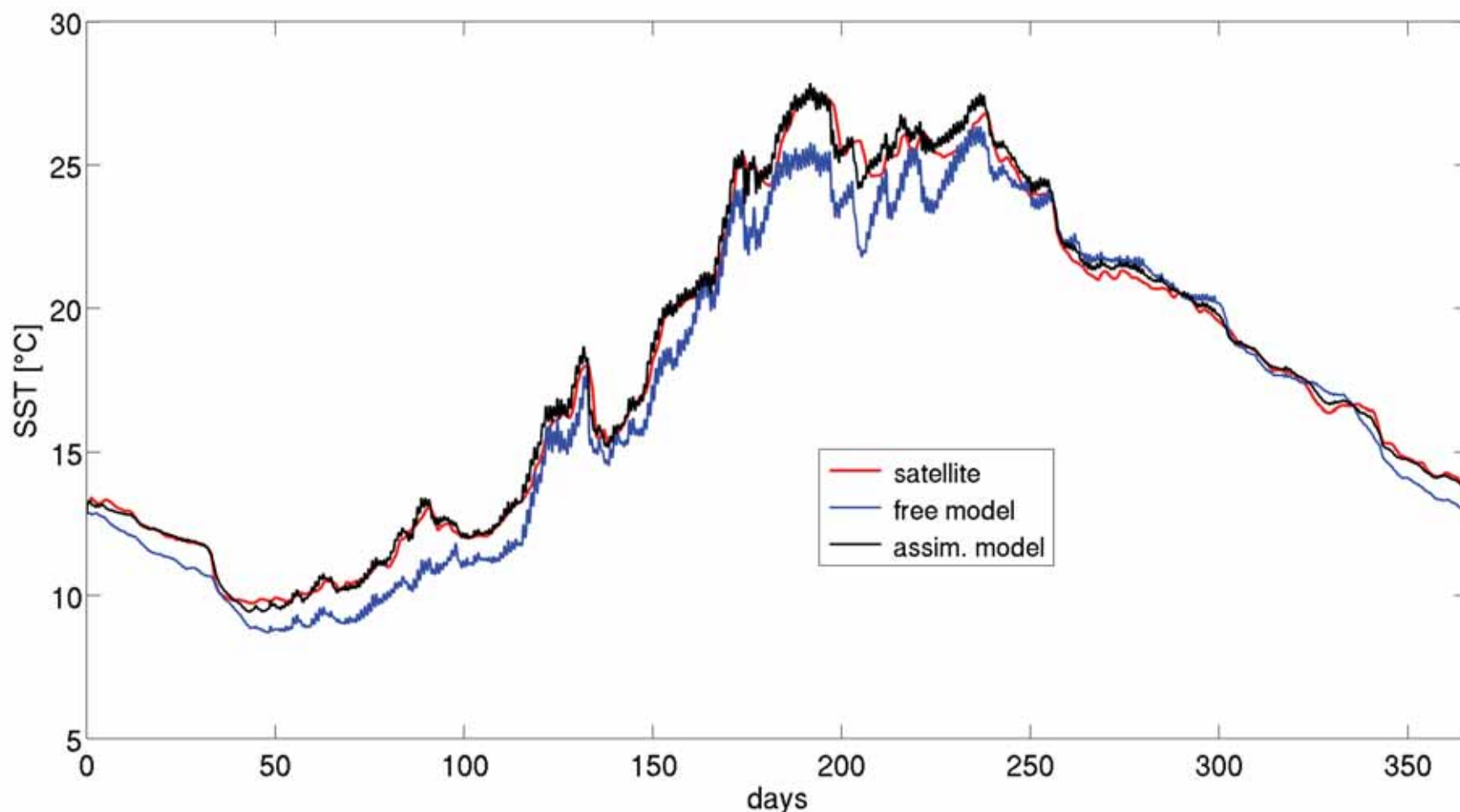
Osservazioni da assimilare:

- ✓ **temperatura** superficiale da satellite (COPERNICUS)
- ✓ **clorofilla** superficiale da satellite (COPERNICUS)
- ✓ **concentrazione di nutrienti** nelle stazioni ARPA (ISPRA, EIONET/SOE dataset)

Metodologie di assimilazione:

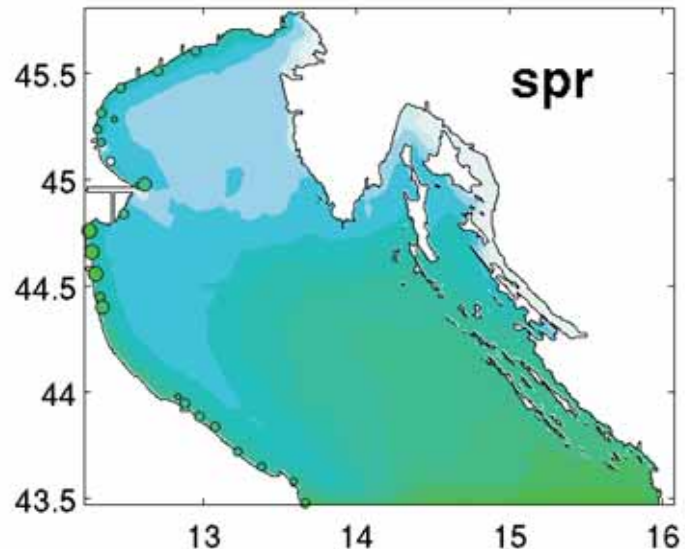
- ✓ **nudging** (MITgcm-RBCS [*Adcroft et al., 2013*])
- ✓ **schemi variazionali** (3DVarBio [*Teruzzi et al., 2014*])

Serie temporale della **temperatura superficiale (SST)** nel 2012
(valore mediato sull'intero bacino):
dato osservato (satellite) e modello senza e con assimilazione

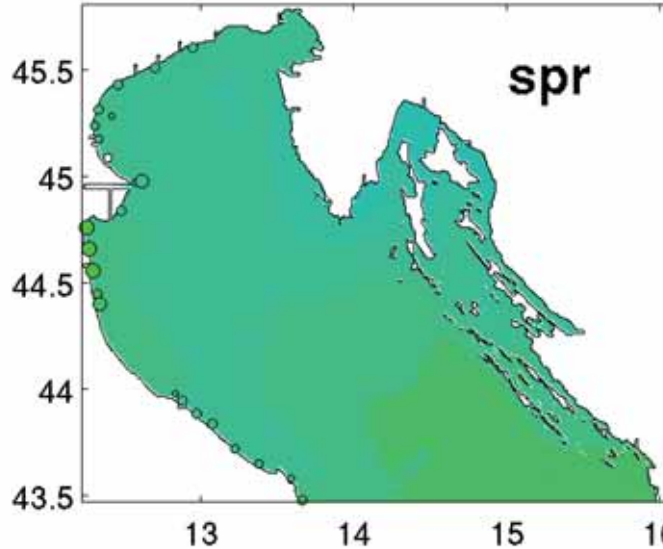


Mappe di temperatura superficiale (medie stagionali)

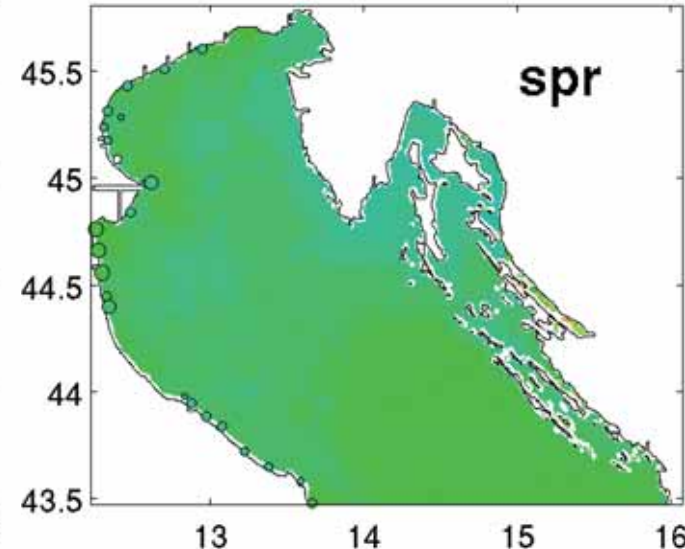
Modello (no assimil.)



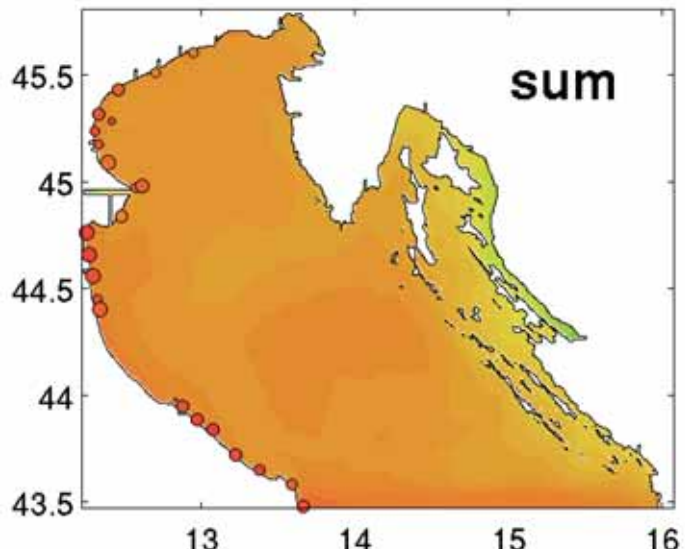
Modello (assimilato)



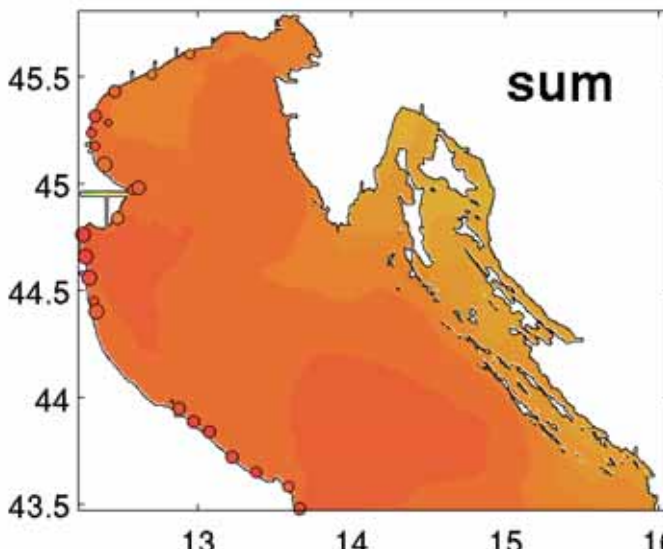
Satellite



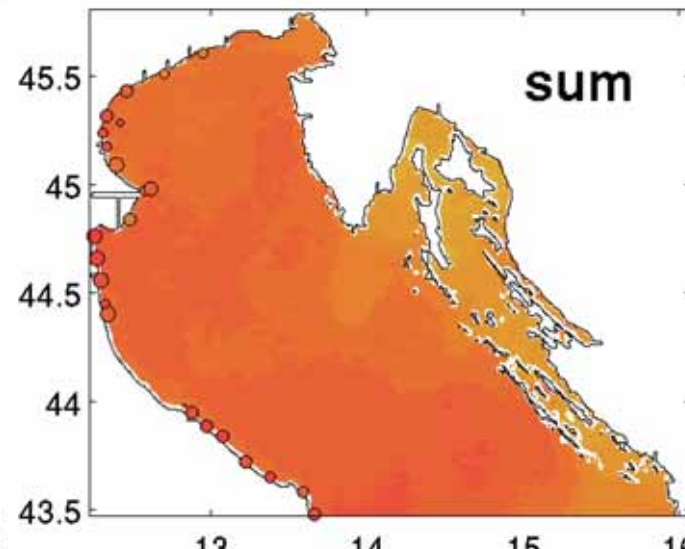
sum



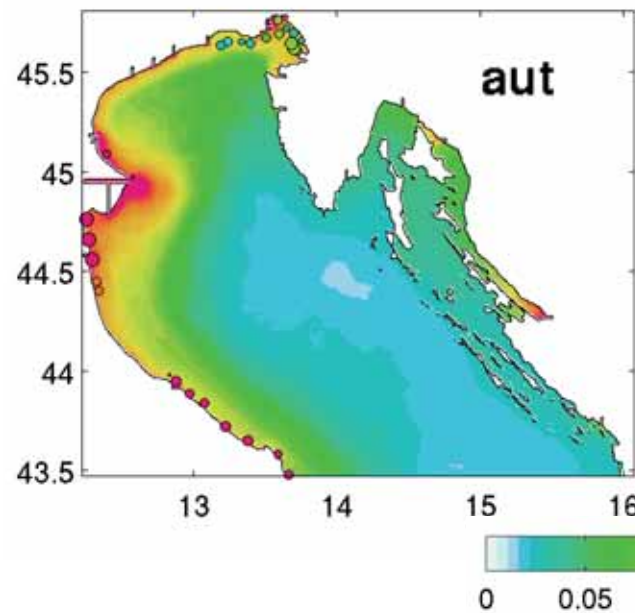
sum



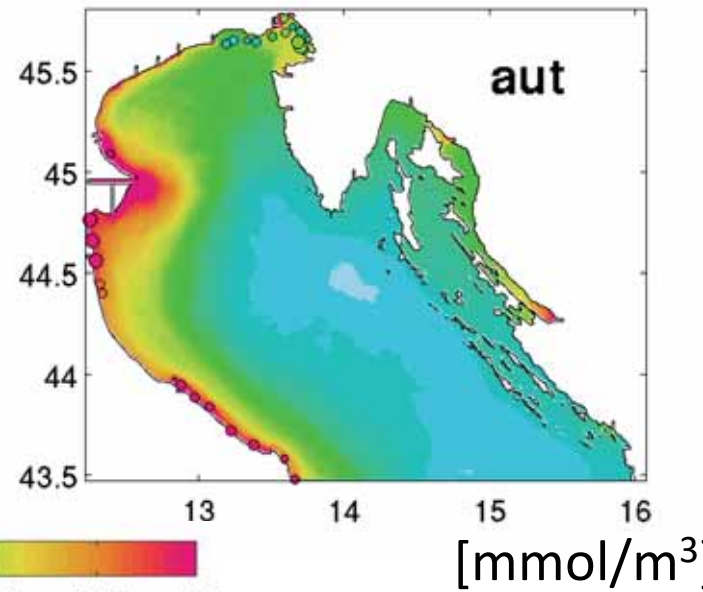
sum



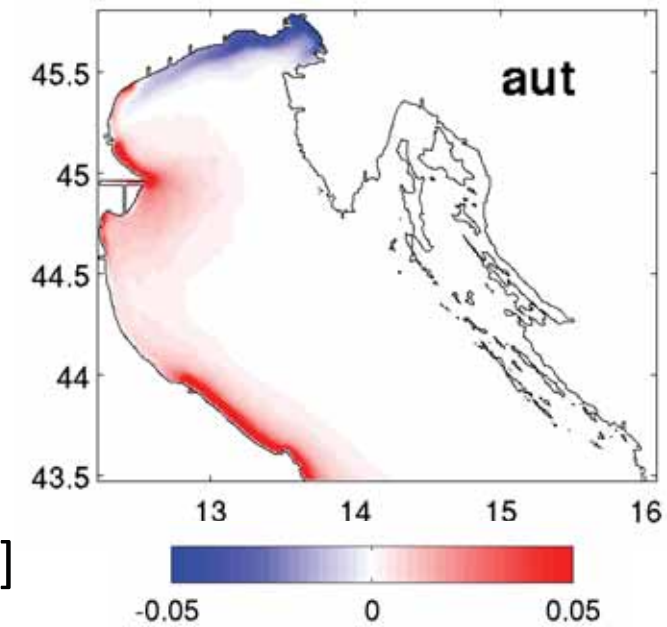
PO4 (non assimil.)



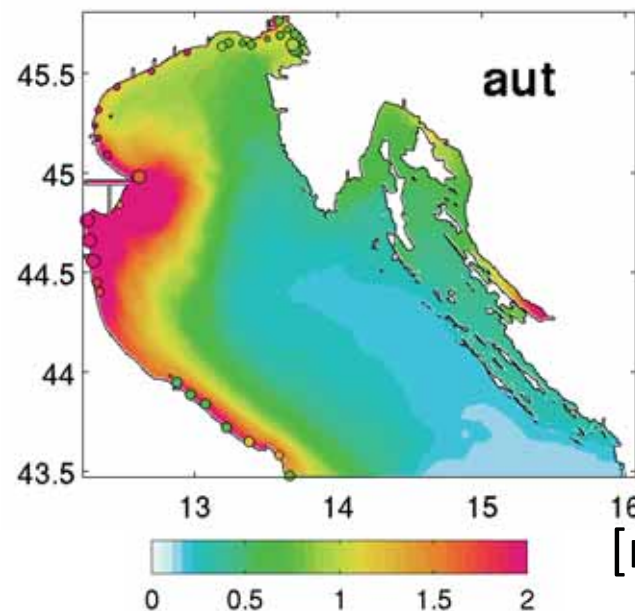
PO4 (assimilato)



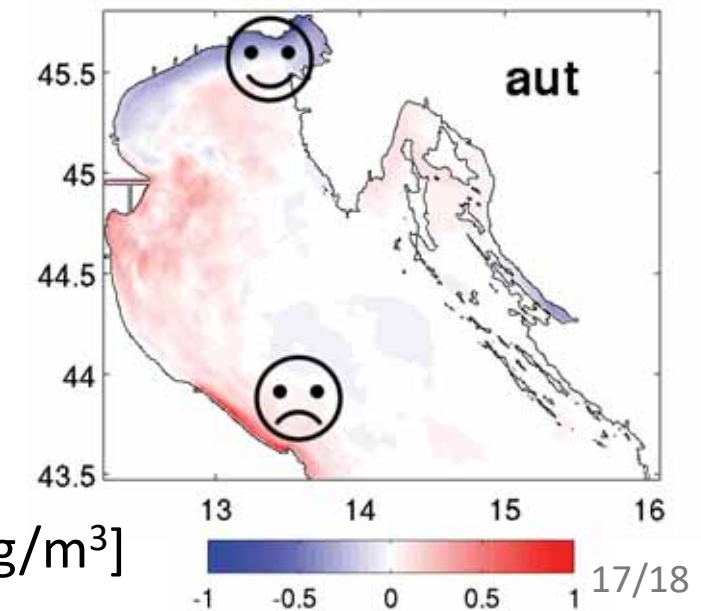
PO4 (anomalia)



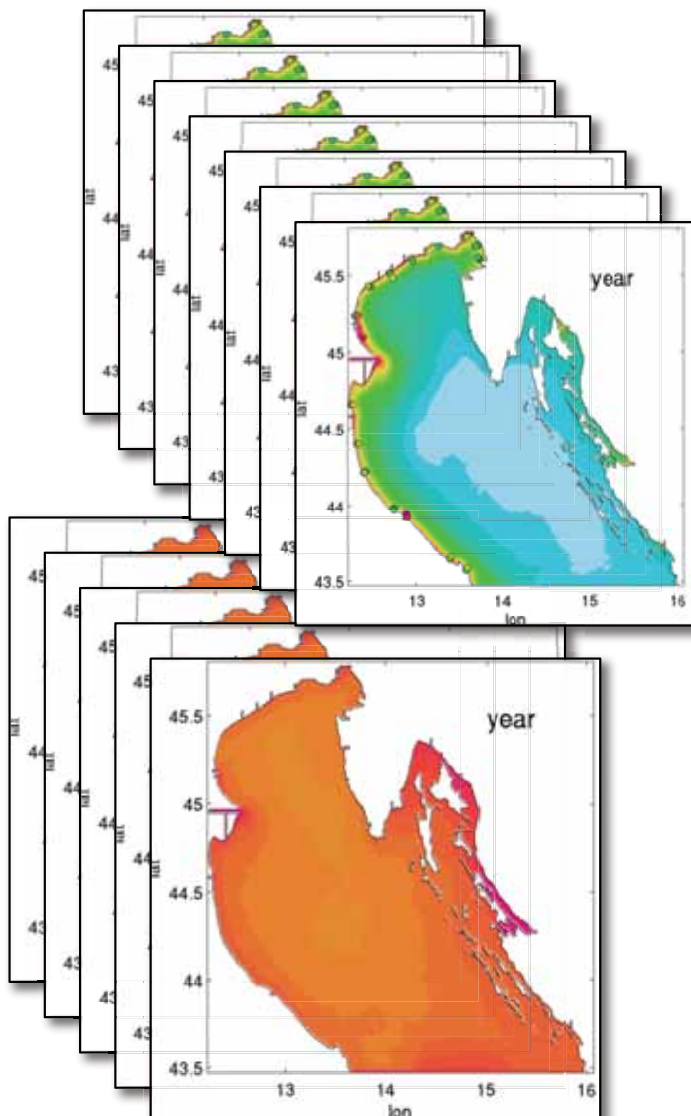
CHL (assimilato)



CHL (anomalia)



**effetto dell'assimilazione
dei nutrienti sulla
concentrazione di
clorofilla**



Modello fisico-biogeochimico ad alta risoluzione (~700 m) validato e integrato con le osservazioni sperimentali e da satellite (*data assimilation*):

- ✓ **rianalisi 2006-2017** → ricostruzione dello stato recente dell'Alto Adriatico dal punto di vista oceanografico/ecologico (riferimento per valutare i cambiamenti);
- ✓ **simulazioni annuali** dal 2018 al 2020 → bollettino dello stato del mare per l'anno precedente e prodotti derivati;
- ✓ **variabili simulate:** nitrato, fosfato, ammonio, clorofilla, produzione primaria, ossigeno, DOC...
- ✓ **variabili derivate:** TRIX, indice di impatto...

2006-2017

2018

2019

2020



CADEAU



GRACIAS **THANK**
ARIGATO **YOU**
SHUKURIA **BOLZİN MERCI**
JUSPAXAR

DANKSCHEEN

NUHUN SPASSIBO SNACHALHYA CHALTU TASHAKKUR ATU YAQHANYELAY SUKSAMA EKHMET HUI YUSPAGARATAM
DHANYABAAD NABEEJA MAITEKA ANHAA UNALCHEESH
ATTO ANHAA HATUR GUI
MAAKE SANCO SPASIBO DENKAUJA SIKOMO MAKETAI
MERASTAWHY GAEJTHO LAH PALKIES
GOZAIMASHITA EFCHARISTO AGUYJE FAKAAUE
BAIKA KOMAPSUMNIDA
TAVTAPUCH MEDAWAGSE
MAKETAI MINMONCHAR

TINGKI BIYAN SHUKRIA



ISPRA

Istituto Superiore per la Protezione
e la Ricerca Ambientale